

荒天時波浪を対象とした海況変形に関する模型実験

高知大学農学部 正員 玉井 佐一

1. まごころ

土佐湾中央部に位置する仁井田地区に高知新港建設計画が策定され、老湾諸施設の規模および港内新設施設について検討がなされ、模型実験による検討がなされている。しかし、同知の如く、二の如き構造物の築造は沿岸線の変動を生じ、海況変形を助長させることが懸念される。海況変形については季節的波浪特性の変化に起因した海況変化、荒天時の高波浪の来襲による短期的な海況変化、さらに二の如き短期的な海況変化が生じることから長期的な海況の侵食と堆積が生じることを考慮する。

本実験は、特に荒天時波浪が来襲した場合の高知新港に隣接する仁井田海岸の海況変形について考察し、対策について検討するものである。

2. 高知新港建設予定地帯の海況の現況

高知新港建設予定地帯の仁井田海岸は浦戸湾にあり、柱状防波堤の遮蔽域にある。昭和49年よりこの地区(Station No. K-1~6)に5基の丁型突堤が施工されている。これにより、この地区は図-1に示す如く、汀線が最近に至って回復している。しかし、この東部の St. No. 28-25~28-41 には汀線が後退し、特に、St. No. 28-40~41 においては昭和23年より30年間に約50mに及び顕著な後退がみられる。

この状況下において昭和54年9~10月に台風7916号および7920号が来襲し、仁井田海岸 St. No. 28-40~41 の海岸堤防前浜が洗掘され200m倒壊した。

3. 実験設備および実験方法

実験には長さ30m、幅30m、深さ80cmの波浪水槽を用い、その水槽の一端に中央粒径 $d_{50}=0.32\text{mm}$ の自然砂を用いる。高知新港建設予定地帯を含む隣接海岸(仁井田海岸4.5km)の縮尺1/150の模型を作成した。

図-2にその配置を示す。

実験は三項目に分けて行うことにした。すなわち、

- (1) 台風時波浪を対象とした海況地形の再現性に関する実験
- (2) 上記(1)の結果による波浪特性および時間縮尺に基づき新港建設後の隣接海況への影響実験、および(3)上記(1)の結果を適し対策に関する実験である。

4. 実験結果とその考察

(1) 台風復元地形の再現性に関する実験 実験時の波浪はSおよびS.S.Wとし、昭和54年2月の深淺測量結果による海況地形初期地形とした。これは台風時を想定し、周期 $T_p=10\sim12\text{sec}$ 、波高 $H_p=6.0\sim10.0\text{m}$ (実験波 $T_w=0.82\sim0.98\text{sec}$ 、 $H_w=4.0\sim6.7\text{cm}$)の波数時間作用させ、台風7916号および7920号後の昭和54年9~10月の現地地形を再現するものとした。種々の実験の結果、S方向浪では $T_p=10.4\text{sec}$ 、 $H_p=8.1\text{m}$ ($T_w=$

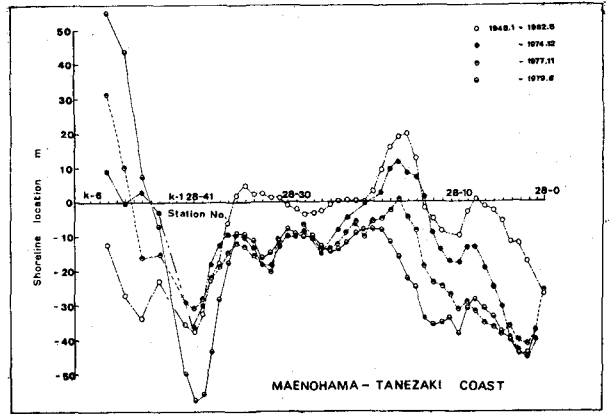


図-1

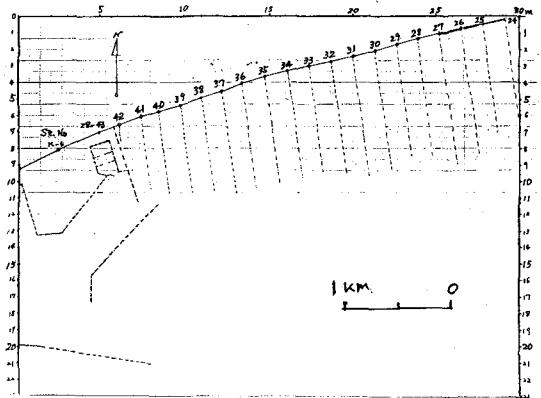


図-2

0.85 sec, $H_m = 5.4 \text{ cm}$) 作用時間 $t = 5$ 時間の場合と比較的台風の地形を再現し、一方、S.S.W方向波では $T_p = 10.4 \text{ sec}$ $H_p = 9.8 \text{ m}$ ($H_m = 6.5 \text{ cm}$) $t = 5 \text{ hrs}$ が最もよい再現性が示された。この場合の汀線変化と比較したものが図-3であり、S方向波の場合に比べてS.S.W波の方がより台風後の汀線に近いことがわかる(断面図の比較は請負時に不利な実験では作用時間 $t = 6 \text{ hrs}$ とした検討に上記 $t = 5 \text{ hrs}$ の場合の海浜地形と大差なく $t = 5 \sim 6 \text{ hrs}$ ではほぼ平均的な海浜の平衡が示される)。

(2)新港建設地形に対する実験 上記の再現性に関する実験結果を基に、新港建設後を対象に、波向をS、S.S.W及びS.S.Eとし、荒天時波況による断続的な変化について実験的に検討した。なお、新港模型は図-2に示す範囲と水槽内に作製し、初期地形は昭和56年2月の現地測量結果を基にした。S方向波においては $T_p = 10.4 \text{ sec}$, $H_p = 8.3 \text{ m}$, S.S.W波では $T_p = 10.4 \text{ sec}$, $H_p = 9.8 \text{ m}$, S.S.E波では $T_p = 10.4 \text{ sec}$, $H_p = 8.9 \text{ m}$ の相対波高を5hrs作用させた場合の汀線変化を示したものが図-4である。これに示すように汀線変化は各波向ともほぼ同様の傾向がみられる。(断面図は請負時に利)

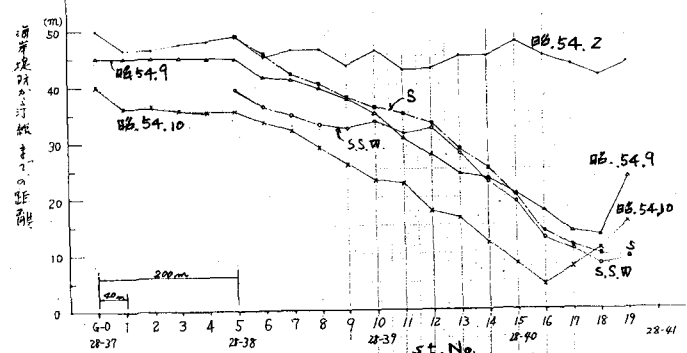


図-3

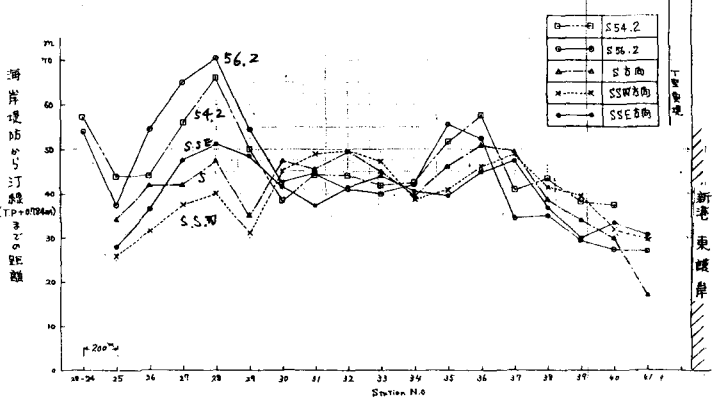


図-4

新港建設後に台風7916号による7920号のよう荒天時波況が来襲した場合、断続的な一部堆積地形がみられ、汀線の前進が2地帯もみられる。一方、St.No. 28-29地帯のように顕著な汀線の後退がみられる。初期地形は昭和56年2月のSt.No. 28-29地帯の海浜幅は90mで他の地帯に比べて広く、汀線は沖側に突出している。これは昭和56年2月の時長において同様であるが、実験結果によれば、この地帯の変動が顕著な20~30m後退となり、海浜幅は40~50mとなる。前記図-1において新港建設後は断続的な汀線の後退がみられるが、特にSt.No. 28-29~41地帯は顕著であり、次に、St.No. 28-29及びSt.No. 28-28がこれに比べて大きくなる。これはこの地帯は本実験図-4における汀線の後退地帯と一致している。また、これはこの地帯にはlarge cuspがみられ、これは2つあり、そのスパンは800~1500mであり、large cuspのapexの変化(前進・後退)と上述の実験の汀線変動が対応していることが考えられ、特にSt.No. 28-29~28地帯においてその傾向が明確に現れているようである。

断続的な汀線の後退が進行している地帯は荒天時波況が来襲し、波の収束効果と海水の卓越効果が、この地帯の侵食が急激に進行すると思われる。

対策については、離岸距離120m(海岸堤防)、長さ100m間隔50mの離岸堤工法によって検討した結果は、このよう荒天時波況に対しては、初期汀線を保持するに成功しているようである。

5. おわりに
 対策工についてはこの他各浪工を考慮する。また、平常時波況を対象とした断続的な新港の影響について数値シミュレーションが進められている。